

Starkniederschlagshöhen und -spenden gemäß KOSTRA-DWD-2020

Rasterfeld 94173

(Zeile 94, Spalte 173)

Regenspende und Bemessungsniederschlagswerte in Abhängigkeit von Wiederkehrzeit T und Dauerstufe D

| Dauerstufe D | | Wiederkehrzeit T | | | | | | | | | | | | | | | | | |
|--------------|-----|------------------|------------|------|------------|------|------------|------|------------|------|------------|-------|------------|-------|------------|-------|------------|-------|------------|
| | | 1 a | | 2 a | | 3 a | | 5 a | | 10 a | | 20 a | | 30 a | | 50 a | | 100 a | |
| min | Std | mm | l / (s ha) | mm | l / (s ha) | mm | l / (s ha) | mm | l / (s ha) | mm | l / (s ha) | mm | l / (s ha) | mm | l / (s ha) | mm | l / (s ha) | mm | l / (s ha) |
| 5 | | 6,1 | 203,3 | 7,6 | 253,3 | 8,6 | 286,7 | 9,8 | 326,7 | 11,7 | 390,0 | 13,5 | 450,0 | 14,8 | 493,3 | 16,4 | 546,7 | 18,7 | 623,3 |
| 10 | | 8,0 | 133,3 | 10,1 | 168,3 | 11,3 | 188,3 | 13,0 | 216,7 | 15,4 | 256,7 | 17,9 | 298,3 | 19,5 | 325,0 | 21,6 | 360,0 | 24,7 | 411,7 |
| 15 | | 9,2 | 102,2 | 11,6 | 128,9 | 13,0 | 144,4 | 15,0 | 166,7 | 17,7 | 196,7 | 20,6 | 228,9 | 22,4 | 248,9 | 24,9 | 276,7 | 28,4 | 315,6 |
| 20 | | 10,1 | 84,2 | 12,7 | 105,8 | 14,3 | 119,2 | 16,4 | 136,7 | 19,4 | 161,7 | 22,5 | 187,5 | 24,6 | 205,0 | 27,3 | 227,5 | 31,1 | 259,2 |
| 30 | | 11,4 | 63,3 | 14,3 | 79,4 | 16,1 | 89,4 | 18,5 | 102,8 | 21,9 | 121,7 | 25,5 | 141,7 | 27,8 | 154,4 | 30,8 | 171,1 | 35,1 | 195,0 |
| 45 | | 12,8 | 47,4 | 16,1 | 59,6 | 18,1 | 67,0 | 20,8 | 77,0 | 24,6 | 91,1 | 28,5 | 105,6 | 31,1 | 115,2 | 34,5 | 127,8 | 39,4 | 145,9 |
| 60 | 1 | 13,9 | 38,6 | 17,4 | 48,3 | 19,6 | 54,4 | 22,5 | 62,5 | 26,6 | 73,9 | 30,9 | 85,8 | 33,7 | 93,6 | 37,3 | 103,6 | 42,6 | 118,3 |
| 90 | 1,5 | 15,4 | 28,5 | 19,4 | 35,9 | 21,8 | 40,4 | 25,0 | 46,3 | 29,6 | 54,8 | 34,4 | 63,7 | 37,5 | 69,4 | 41,6 | 77,0 | 47,4 | 87,8 |
| 120 | 2 | 16,6 | 23,1 | 20,9 | 29,0 | 23,5 | 32,6 | 27,0 | 37,5 | 31,9 | 44,3 | 37,0 | 51,4 | 40,4 | 56,1 | 44,8 | 62,2 | 51,1 | 71,0 |
| 180 | 3 | 18,5 | 17,1 | 23,2 | 21,5 | 26,1 | 24,2 | 29,9 | 27,7 | 35,4 | 32,8 | 41,1 | 38,1 | 44,8 | 41,5 | 49,7 | 46,0 | 56,7 | 52,5 |
| 240 | 4 | 19,9 | 13,8 | 24,9 | 17,3 | 28,0 | 19,4 | 32,2 | 22,4 | 38,1 | 26,5 | 44,2 | 30,7 | 48,2 | 33,5 | 53,5 | 37,2 | 61,0 | 42,4 |
| 360 | 6 | 22,0 | 10,2 | 27,6 | 12,8 | 31,1 | 14,4 | 35,6 | 16,5 | 42,2 | 19,5 | 49,0 | 22,7 | 53,4 | 24,7 | 59,2 | 27,4 | 67,5 | 31,3 |
| 540 | 9 | 24,3 | 7,5 | 30,5 | 9,4 | 34,4 | 10,6 | 39,4 | 12,2 | 46,7 | 14,4 | 54,2 | 16,7 | 59,1 | 18,2 | 65,5 | 20,2 | 74,7 | 23,1 |
| 720 | 12 | 26,1 | 6,0 | 32,8 | 7,6 | 36,9 | 8,5 | 42,3 | 9,8 | 50,2 | 11,6 | 58,2 | 13,5 | 63,5 | 14,7 | 70,4 | 16,3 | 80,3 | 18,6 |
| 1080 | 18 | 28,9 | 4,5 | 36,3 | 5,6 | 40,8 | 6,3 | 46,8 | 7,2 | 55,5 | 8,6 | 64,4 | 9,9 | 70,2 | 10,8 | 77,8 | 12,0 | 88,8 | 13,7 |
| 1440 | 24 | 31,0 | 3,6 | 39,0 | 4,5 | 43,9 | 5,1 | 50,3 | 5,8 | 59,6 | 6,9 | 69,1 | 8,0 | 75,4 | 8,7 | 83,6 | 9,7 | 95,4 | 11,0 |
| 2880 | 48 | 36,9 | 2,1 | 46,3 | 2,7 | 52,1 | 3,0 | 59,7 | 3,5 | 70,7 | 4,1 | 82,1 | 4,8 | 89,5 | 5,2 | 99,3 | 5,7 | 113,2 | 6,6 |
| 4320 | 72 | 40,7 | 1,6 | 51,1 | 2,0 | 57,6 | 2,2 | 66,0 | 2,5 | 78,2 | 3,0 | 90,7 | 3,5 | 99,0 | 3,8 | 109,7 | 4,2 | 125,2 | 4,8 |
| 5760 | 96 | 43,8 | 1,3 | 54,9 | 1,6 | 61,8 | 1,8 | 70,9 | 2,1 | 83,9 | 2,4 | 97,4 | 2,8 | 106,2 | 3,1 | 117,8 | 3,4 | 134,4 | 3,9 |
| 7200 | 120 | 46,2 | 1,1 | 58,0 | 1,3 | 65,3 | 1,5 | 74,9 | 1,7 | 88,7 | 2,1 | 102,9 | 2,4 | 112,3 | 2,6 | 124,5 | 2,9 | 142,0 | 3,3 |
| 8640 | 144 | 48,4 | 0,9 | 60,7 | 1,2 | 68,3 | 1,3 | 78,4 | 1,5 | 92,8 | 1,8 | 107,7 | 2,1 | 117,4 | 2,3 | 130,2 | 2,5 | 148,5 | 2,9 |
| 10080 | 168 | 50,2 | 0,8 | 63,0 | 1,0 | 71,0 | 1,2 | 81,4 | 1,3 | 96,4 | 1,6 | 111,9 | 1,9 | 122,0 | 2,0 | 135,3 | 2,2 | 154,3 | 2,6 |

Starkniederschlagshöhen und -spenden gemäß KOSTRA-DWD-2020

Rasterfeld 94173

(Zeile 94, Spalte 173)

Örtliche Unsicherheiten in Abhängigkeit von Wiederkehrzeit T und Dauerstufe D

| Dauerstufe D | | Wiederkehrzeit T | | | | | | | | |
|--------------|-----|------------------|-----|-----|-----|------|------|------|------|-------|
| | | 1 a | 2 a | 3 a | 5 a | 10 a | 20 a | 30 a | 50 a | 100 a |
| min | Std | ± % | ± % | ± % | ± % | ± % | ± % | ± % | ± % | ± % |
| 5 | | 13 | 12 | 12 | 12 | 12 | 13 | 13 | 13 | 14 |
| 10 | | 11 | 13 | 14 | 15 | 16 | 17 | 17 | 17 | 18 |
| 15 | | 13 | 15 | 16 | 17 | 18 | 19 | 20 | 20 | 21 |
| 20 | | 14 | 16 | 17 | 18 | 20 | 21 | 21 | 22 | 22 |
| 30 | | 15 | 17 | 19 | 20 | 21 | 22 | 23 | 23 | 24 |
| 45 | | 16 | 18 | 19 | 21 | 22 | 23 | 23 | 24 | 25 |
| 60 | 1 | 16 | 18 | 19 | 21 | 22 | 23 | 24 | 24 | 25 |
| 90 | 1,5 | 15 | 18 | 19 | 20 | 22 | 23 | 23 | 24 | 25 |
| 120 | 2 | 15 | 17 | 19 | 20 | 21 | 22 | 23 | 23 | 24 |
| 180 | 3 | 14 | 17 | 18 | 19 | 20 | 21 | 22 | 23 | 23 |
| 240 | 4 | 14 | 16 | 17 | 18 | 20 | 21 | 21 | 22 | 23 |
| 360 | 6 | 13 | 15 | 16 | 17 | 19 | 20 | 20 | 21 | 22 |
| 540 | 9 | 13 | 14 | 15 | 16 | 18 | 19 | 19 | 20 | 20 |
| 720 | 12 | 12 | 14 | 15 | 16 | 17 | 18 | 19 | 19 | 20 |
| 1080 | 18 | 12 | 13 | 14 | 15 | 16 | 17 | 18 | 18 | 19 |
| 1440 | 24 | 12 | 13 | 14 | 15 | 16 | 17 | 17 | 18 | 18 |
| 2880 | 48 | 13 | 14 | 14 | 15 | 15 | 16 | 16 | 17 | 17 |
| 4320 | 72 | 14 | 14 | 14 | 15 | 16 | 16 | 16 | 17 | 17 |
| 5760 | 96 | 15 | 15 | 15 | 15 | 16 | 16 | 17 | 17 | 17 |
| 7200 | 120 | 16 | 15 | 16 | 16 | 16 | 16 | 17 | 17 | 17 |
| 8640 | 144 | 17 | 16 | 16 | 16 | 16 | 17 | 17 | 17 | 17 |
| 10080 | 168 | 17 | 17 | 16 | 17 | 17 | 17 | 17 | 17 | 18 |

Parameter für abweichende T und D

Lokationsparameter ξ (Xi)

14,1908676

Skalenparameter α (Alpha)

5,02659902

Formparameter κ (Kappa)

-0,1

1. Koutsoyiannis-Parameter θ (Theta)

0,03038188

2. Koutsoyiannis-Parameter η (Eta)

0,75309714

Parameter für dauerstufenübergreifende Extremwertschätzung nach KOUTSOYIANNIS et al. 1998.

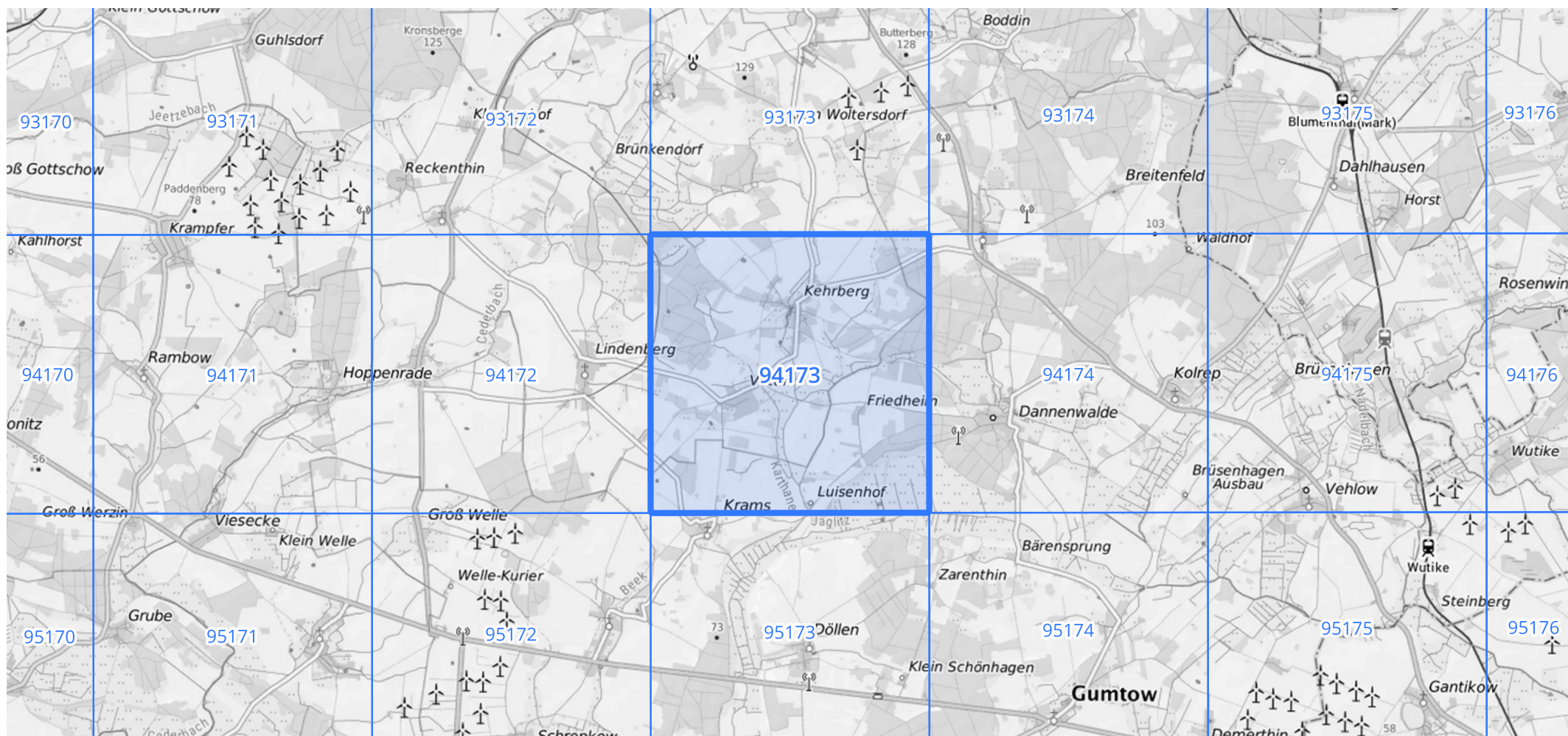
Siehe auch Anwendungshilfe zu KOSTRA-DWD-2020 des Deutschen Wetterdienstes.

Starkniederschlagshöhen und -spenden gemäß KOSTRA-DWD-2020

Rasterfeld 94173

(Zeile 94, Spalte 173)

Übersichtskarte des Rasterfeldes 94173, M 1 : 100 000



Quelle Rasterdaten: KOSTRA-DWD-2020 des Deutschen Wetterdienstes, Stand 12/2022.